

## 被写体とフィルムベースの色調関係について

和歌山工業高等専門学校 正員 星 仰  
千葉 县 広 正員・川口 雅人

## はじめに

写真判読を容易にするには判読をする側の問題と使用する写真の問題とがあり、後者については種々の写真が得られるようになってきた。また、有益な情報は適当な方法で抽出され抽出される。この過程を精度よくしかも一定の処理で定量的に行なうことにより相互比較あるいは絶対比較を効果的にすらことができる。とくにカラー写真からの特徴点を抽出することは写真判読に重要であり、BGR法がよく使用される。

最近のカラー写真の定量的利用を調査してみると相対的調査が多く、絶対的調査がほとんどないようである。これは写真の色調とオリジナル色調の関係が明らかにされないことが原因であるように思われる。そこで本報告はBGR法により被写体とフィルムの関係を別々に分析し、被写体色のBGR値の度数分布から色調の判別状態を調べ、さらに同被写体をスライドカラー像とレニコンフィルムベースの色調のBGR値の判別状態などを求め両者のBGR値の関連性を解明すべく基礎事項を2,3進展させたのでその概要を報告する。

## 1) 標準色票の定量化

被写体を一般的の風景に選定することは計測機などの制約を受けまた、不正確となる恐れがあるので、ここでは標準色票（JIS Z 8721-1958 の規定に従つたもの）をオリジナル資料に選定し、デジタルメータ（82TR型）で各色のBGR値を手動で求めた。

標準色票は40種類の色相があり、各色相には基準となる無彩色8色を含んでおり、総数1539色である。色相は2.5度切り、明度は1度切りであり、彩度については1度2度の不規則な切りとなっている。BGR値の測定の基準は明度スケール白をすべての基準にし、さうにBGR値の最も高い値を示す種類（たとえばラッテンフィルターではG>B>Rの順であるのでG値が最も高い値となる）でしかも色票の明度9が100に相当するにし、測定範囲を零以上とした。すなわち、BGR値は一般に0～100の範囲にあり、小数点以下1ケタまで抽出したため、有効ケタ数は1データ当たり3ケタである。したがってデータ処理を実施するには煩雑性を加味して9600個のデータを取り扱う必要があり、ミニコンのユーザエリアを越える処理となるためデータの詰め合せなどを行なった。

データ処理は第1段階を“データの詰め合せ”，第2段階を“BGR値の同値の抽出”，第3段階を“無彩色の関数表示とバラツキ状態”，第4段階を“BGR値分布とその範囲の調査”，第5段階を“色票とフィルムベース上の色調の関係”とした。

## 2) サンプルデータの処理と結果

第1段階のデータの詰め合せは約3KWで格納できるようなプログラムを作成した。第2段階では色票の異なるBGR値が同値になることが考えられるので、どの程度それが発生したか調査する目的で行った。この調査のサンプルの種類は色票を資料とレマラッテ

ンフィルタ使用の場合(A), ガラスフィルタ使用の場合(B), フィルムベース上の色票を資料とレマラッテンフィルタ使用の場合(C), ガラスフィルタ使用の場合(D)の4種類である。なお、赤外フィルムについては参考までに(E)として示してある。

第2段階では  $BGR$  値の等しいものを選ぶのにソフトウェアゴリズムを応用することにした。この出力結果の資料(A)について表-1に示すことにした。この結果のみから判断すると今回取り扱った 1219 の有彩色すべてが、全く異った  $BGR$  値に変換されたことになり、 $BGR$  法による色調判別が容易であるかのように思われる。しかし、測定条件や色ムラなどから、 $BGR$  値から色調判定が完全に可能かどうか判定することができない。

そこで第3段階の無彩色のバラツキを調査し、無彩色の標準関数型を定め絶対評価を可能にすべく、最小二乗法によつて明度と  $BGR$  値の関係式を求め、さらに各明度ごとのバラツキを標準誤差で算出した。明度と濃度の関係式は標準色票を基にしたものであるが、ここでは  $V = a \sqrt{Y} + b$  ----- (1) なる関数式を採用した。

資料番号(A)の明度 2 ~ 9 に対する  $BGR$  値のバラツキは 1 測定の標準誤差  $m$ 、平均値の標準誤差  $M$  として表-2 の結果を得た。また、この時上式の係数  $a$ ,  $b$  を表-2 に示した。

$m$  および  $M$  は 無彩色の製作上のムラとデニシートメータの誤差と考えられ、デニシートメータの光源の安定性は 1.5 時間から 5 時間の間であれば約  $1/100$  の精度であつた。ところが  $m$  および  $M$  の誤差は 色票のムラではないことが明らかになった。また、係数  $a$  および  $b$  の算出により、相対的な測定値を絶対的な値に変換することが可能となった。すなわち、変換補正量は、明度別観測値  $y_{10}$  と  $y_6$  から  $a$  および  $b$  の係数  $a_0$ ,  $b_0$  が算出されるとして次式で求められる。

$$\Delta Y = \left( \frac{a_0 \sqrt{y_6}}{a} + \frac{b_0 + b_0}{a} \right)^3 - y_6 \quad \text{--- (2)}$$

ついで第4段階処理として  $BGR$  値の分布調査を把握する目的で、暫定的に 31 のクラス分けをし、各クラスの度数を算出した。図-1 に資料番号 A の  $BGR$  値の分布状態を示したものである。この結果  $BGR$  値の概略範囲と度数分布から判別の難易を推定することができる。この出力結果を基礎にしてクラス分けの基準を定め色調判別の程度を解明することができる。また、フィルムベース上の色のデータはここでは省略したが、これらについても講演時に報告する予定である。なお、本研究ではフィルム像から被写体の色調を推定するまさに至っていよいので今後より研究を続ける必要がある。

表-1  $BGR$  値の算出

資料 重り(個数)	有彩色数	BGR 値の算出							
		2	3	4	5	6	7	8	9
オリジナル 色票	A 1219 B 1219 C 1219 D 1219 E	163 2 9 10 1	163 163 11 163 163						
カラー フィルム									18 18 29 163
赤外フィルム									2 163

表-2 明度関数の係数とその誤差

$M$	$V$	2	3	4	5	6	7	8	9	統計
	$B$	0.10	0.13	0.16	0.16	0.18	0.18	0.21	0.21	
$G$	0.07	0.13	0.17	0.20	0.20	0.22	0.22	0.22	0	
$R$	0.06	0.08	0.09	0.12	0.18	0.21	0.25	0.20		
$B$	0.61	0.84	0.89	1.01	1.14	2.60	1.97	0.94		
$G$	0.66	0.86	1.08	1.29	1.26	2.76	3.07	0		
$R$	0.36	0.50	0.59	0.79	1.15	1.34	2.19	1.87		

$$a_B = 2.38513 \quad b_B = -1.09091 \\ a_G = 2.04124 \quad b_G = -0.77203 \\ a_R = 3.08887 \quad b_R = -1.07895$$

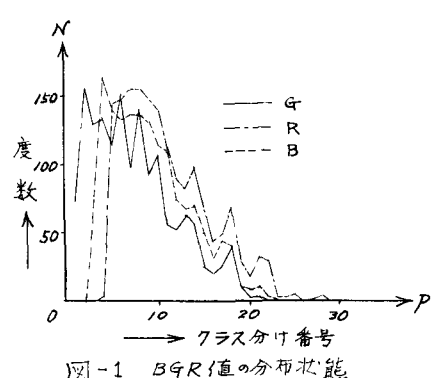


図-1  $BGR$  値の分布状態